

3.1 Riflessione e rifrazione di un'onda piana alla superficie di discontinuità fra due mezzi: incidenza obliqua

Si considerino due mezzi lineari, isotropi, omogenei, stazionari, seminfiniti e separati da una superficie S piana (Fig. 3.1). Il mezzo 1 è caratterizzato da $\epsilon_1, \mu_1, \sigma_1$ mentre il mezzo 2 da $\epsilon_2, \mu_2, \sigma_2$. Si definisce:

- O l'origine di un sistema di riferimento appartenente alla superficie S di separazione tra i due mezzi;
- \hat{n} il versore normale alla superficie S diretto dal mezzo 2 al mezzo 1;
- \vec{r} il vettore congiungente l'origine O con un generico punto P dello spazio, $\vec{r} = x'\hat{x} + y'\hat{y} + z'\hat{z}$

Si consideri poi una generica onda piana, avente direzione di propagazione \hat{i}_{k_1} , proveniente dal mezzo 1 ed incidente sulla superficie S . Il campo associato a tale onda è esprimibile tramite le relazioni

$$\begin{aligned}\vec{E}^i &= \vec{E}_+^{(1)} e^{-jk_1 \hat{i}_{k_1} \cdot \vec{r}}, \\ \vec{H}^i &= \frac{1}{\zeta_1} \hat{i}_{k_1} \times \vec{E}^i,\end{aligned}$$

dove k_1 e ζ_1 sono rispettivamente la costante di propagazione e l'impedenza caratteristica del mezzo 1, mentre $\vec{E}_+^{(i)}$ è l'ampiezza dell'onda incidente.

Si definisca inoltre *piano di incidenza* il piano contenente i versori \hat{n} e \hat{i}_{k_1} , per cui cioè $\vec{r} \cdot (\hat{n} \times \hat{i}_{k_1}) = 0$. Si può facilmente ipotizzare che l'onda piana incidente origini un'onda riflessa nel mezzo 1 e una trasmessa nel mezzo 2, anche esse piane, le cui direzioni di propagazione giacciono sul piano di incidenza. Il campo elettromagnetico associato all'onda piana riflessa risulta

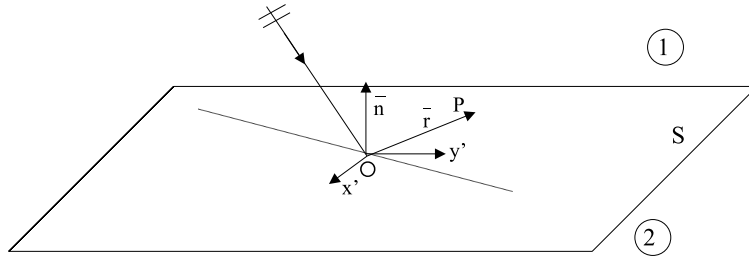


Figura 3.1: Riflessione e rifrazione di un'onda piana alla superficie di discontinuità fra due mezzi: geometria del problema.

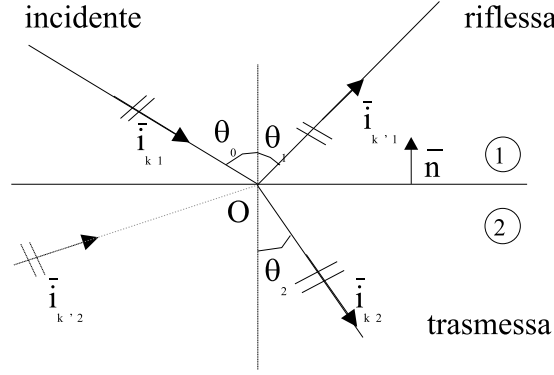


Figura 3.2: Riflessione e rifrazione di un'onda piana alla superficie di discontinuità fra due mezzi: geometria del problema sul piano di incidenza.

$$\vec{E}^r = \vec{E}_-^{(1)} e^{-jk_1 \hat{i}_{k'_1} \cdot \vec{r}}, \quad (3.1)$$

$$\vec{H}^r = \frac{1}{\zeta_1} \hat{i}_{k'_1} \times \vec{E}^r, \quad (3.2)$$

mentre quello dell'onda trasmessa

$$\vec{E}^t = \vec{E}_+^{(2)} e^{-jk_2 \hat{i}_{k_2} \cdot \vec{r}}, \quad (3.3)$$

$$\vec{H}^t = \frac{1}{\zeta_2} \hat{i}_{k_2} \times \vec{E}^t. \quad (3.4)$$

Nel mezzo 2, a rigore, dovremmo considerare anche un'onda proveniente da $z = -\infty$ con direzione di propagazione $\hat{i}_{k'_2}$. Essendo tuttavia il mezzo 2 indefinito per $z \rightarrow -\infty$ e non essendo presente alcuna sorgente in $z = -\infty$ tale onda, al fine di verificare la condizione di radiazione all'infinito, avrà ampiezza nulla. Sulla superficie di separazione dei due mezzi dovranno essere verificate le seguenti condizioni al contorno

$$\hat{n} \times (\vec{E}^i(\vec{r}) + \vec{E}^r(\vec{r})) \Big|_{\vec{r} \in S} = \hat{n} \times \vec{E}^t(\vec{r}) \Big|_{\vec{r} \in S}, \quad (3.5)$$

$$\hat{n} \times (\vec{H}^i(\vec{r}) + \vec{H}^r(\vec{r})) \Big|_{\vec{r} \in S} = \hat{n} \times \vec{H}^t(\vec{r}) \Big|_{\vec{r} \in S}. \quad (3.6)$$

Sostituendo nella eq. (3.5) le espressioni dei campi elettrici delle onde incidente, riflessa e trasmessa, si ottiene

$$\begin{aligned} \hat{n} \times \vec{E}_+^{(1)} \exp(-jk_1 \hat{i}_{k_1} \cdot \vec{r}) + \hat{n} \times \vec{E}_-^{(1)} \exp(-jk_1 \hat{i}_{k'_1} \cdot \vec{r}) = \\ = \hat{n} \times \vec{E}_+^{(2)} \exp(-jk_2 \hat{i}_{k_2} \cdot \vec{r}), \end{aligned} \quad (3.7)$$

con $\vec{r} \in S$. Poiché $\hat{n} \times (\vec{r} \times \hat{n}) = \vec{r} - \hat{n}(\hat{n} \cdot \vec{r})$ è possibile esprimere il vettore \vec{r} tramite la relazione

$$\vec{r} = \hat{n} \times (\vec{r} \times \hat{n}) + \hat{n}(\hat{n} \cdot \vec{r}), \quad (3.8)$$

in cui il doppio prodotto vettoriale $\hat{n} \times (\vec{r} \times \hat{n})$ rappresenta la componente del vettore \vec{r} tangenziale alla superficie di separazione S , mentre $\hat{n}(\hat{n} \cdot \vec{r})$ la componente ad essa normale. Richiedere che $\vec{r} \in S$ equivale a richiedere che sulla superficie S sia verificata la condizione $\hat{n} \cdot \vec{r} = 0$, quindi

$$\hat{i}_k \cdot \vec{r} \Big|_{\vec{r} \in S} = \hat{i}_k \cdot \hat{n} \times (\vec{r} \times \hat{n}) + \hat{i}_k \cdot \hat{n}(\hat{n} \cdot \vec{r}) \Big|_{\hat{n} \cdot \vec{r} = 0} = (\vec{r} \times \hat{n}) \cdot (\hat{i}_k \times \hat{n}). \quad (3.9)$$

L'equazione (3.7) può essere ora scritta nella forma

$$\begin{aligned} & (\hat{n} \times \vec{E}_+^{(1)}) \exp \left[-jk_1(\vec{r} \times \hat{n}) \cdot (\hat{i}_{k_1} \times \hat{n}) \right] + \\ & + (\hat{n} \times \vec{E}_-^{(1)}) \exp \left[-jk_1(\vec{r} \times \hat{n}) \cdot (\hat{i}_{k'_1} \times \hat{n}) \right] = \\ & = (\hat{n} \times \vec{E}_+^{(2)}) \exp \left[-jk_2(\vec{r} \times \hat{n}) \cdot (\hat{i}_{k_2} \times \hat{n}) \right], \quad \forall \vec{r} \in S. \end{aligned} \quad (3.10)$$

Poiché $\vec{E}_+^{(1)}, \vec{E}_-^{(1)}, \vec{E}_+^{(2)}$ non sono funzioni della posizione \vec{r} e la precedente relazione deve essere verificata $\forall \vec{r} \in S$ è necessario che gli argomenti degli esponenziali siano identici, cioè

$$k_1(\vec{r} \times \hat{n}) \cdot (\hat{i}_{k_1} \times \hat{n}) = \quad (3.11a)$$

$$= k_1(\vec{r} \times \hat{n}) \cdot (\hat{i}_{k'_1} \times \hat{n}) = \quad (3.11b)$$

$$= k_2(\vec{r} \times \hat{n}) \cdot (\hat{i}_{k_2} \times \hat{n}) \quad (3.11c)$$

Per l'arbitrarietà del vettore $\vec{r} \in S$ l'uguaglianza delle espressioni (3.11a) e (3.11b) conduce alla relazione

$$\hat{i}_{k_1} \times \hat{n} = \hat{i}_{k'_1} \times \hat{n}. \quad (3.12)$$

Definendo con θ_0 l'angolo compreso tra i versori \hat{n} e \hat{i}_{k_1} e con θ_1 quello compreso tra i versori \hat{n} e $\hat{i}_{k'_1}$ segue che (prima legge di Snell)

$$\sin \theta_0 = \sin \theta_1 \quad \Rightarrow \quad \theta_0 = \theta_1. \quad (3.13)$$

Analogamente richiedere che sia verificata l'uguaglianza tra le espressioni (3.11a) e (3.11c) equivale a richiedere che

$$k_1(\hat{i}_{k_1} \times \hat{n}) = k_2(\hat{i}_{k_2} \times \hat{n}),$$

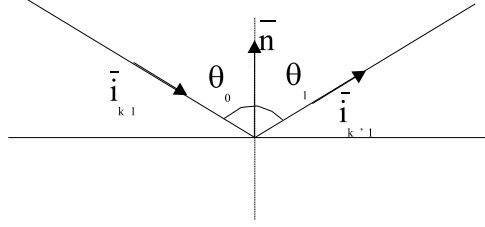


Figura 3.3: Geometria dell'onda diretta e riflessa.

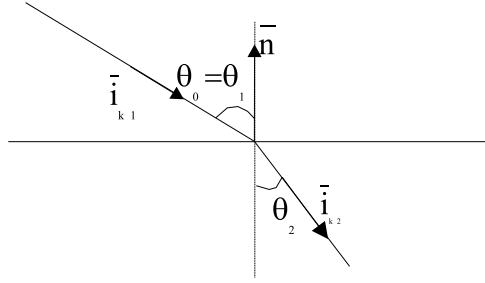


Figura 3.4: Geometria dell'onda diretta e trasmessa.

da cui definendo θ_2 l'angolo compreso tra i versori $(-\hat{n})$ e \hat{i}_{k_2} risulta (seconda legge di Snell)

$$k_1 \sin \theta_1 = k_2 \sin \theta_2 . \quad (3.14)$$

Quest'ultima relazione è generalmente espressa in termini dell'*indice di rifrazione assoluto* definito come¹:

$$n = \frac{k}{k_0} = \frac{\omega \sqrt{\epsilon \mu}}{\omega \sqrt{\epsilon_0 \mu_0}} = \sqrt{\epsilon_r \mu_r} , \quad (3.15)$$

per cui dividendo ambo i membri della eq. (3.14) per k_0 si ottiene

$$n_1 \sin \theta_1 = n_2 \sin \theta_2 . \quad (3.16)$$

Nel caso che i mezzi siano privi di perdite ($n \in \mathbb{R}^+$) si individuano i seguenti due casi

¹Nel caso di mezzo dielettrico ($\mu \simeq \mu_0$) per cui

$$n \simeq \frac{\omega \sqrt{\epsilon_0 \epsilon_r \mu_0}}{\omega \sqrt{\epsilon_0 \mu_0}} = \sqrt{\epsilon_r} .$$

- caso $n_1 < n_2$

Il mezzo in cui è trasmessa l'onda è più denso di quello di provenienza e l'angolo θ_2 risulta sempre reale per ogni valore reale dell'angolo $\theta_1 \in (0, \pi/2)$ di incidenza. Infatti essendo il rapporto $n_1/n_2 < 1$ si ottiene:

$$\sin \theta_2 = \frac{n_1}{n_2} \sin \theta_1 < 1, \quad \forall \theta_1 \in (0, \pi/2).$$

- caso $n_1 > n_2$

Il mezzo di provenienza è più denso di quello in cui l'onda è trasmessa e l'angolo θ_2 risulta reale solo per alcuni valori dell'angolo di incidenza $\theta_1 \in (0, \pi/2)$. In particolare ciò si verifica per gli angoli di incidenza θ_1 minori dell'angolo critico θ_c definito come l'angolo per cui

$$\sin \theta_2 = \frac{n_1}{n_2} \sin \theta_c = 1,$$

cioè

$$\theta_c = \arcsin \left(\frac{n_2}{n_1} \right).$$

Quindi per

- $\theta_1 < \theta_c$
esiste un angolo $\theta_2 \in \mathbb{R}$ per cui $\hat{i}_{k_2} \in \mathbb{R}$ e l'onda trasmessa nel mezzo 2 risulta *omogenea*;
- $\theta_1 > \theta_c$
l'angolo $\theta_2 \in \mathbb{C}$, la direzione di propagazione dell'onda trasmessa è complessa e l'onda risulta *non omogenea*.

Nel caso in cui un'onda piana non incida ortogonalmente sulla superficie di separazione S tra due mezzi aventi caratteristiche elettriche e/o magnetiche diverse è sempre possibile definire un piano di incidenza contenente sia il versore di propagazione che quello normale al piano di separazione S . Inoltre, data la linearità del problema, è possibile considerare una generica onda piana incidente avente polarizzazione arbitraria come sovrapposizione di due onde piane (Fig. 3.5)

- \perp una con campo elettrico perpendicolare al piano di incidenza (o onda Trasversa Elettrica rispetto alla normale alla superficie di separazione in quanto il campo elettrico è tutto trasverso rispetto a tale normale);

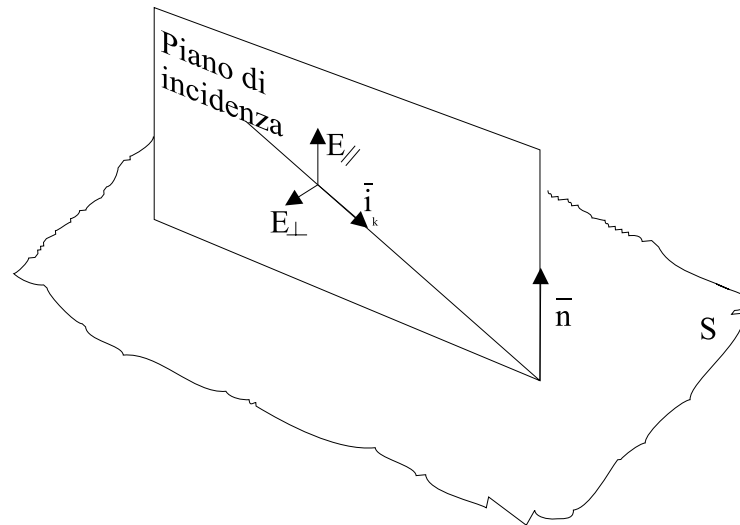


Figura 3.5: Scomposizione nelle componenti ortogonale e parallela dell'onda piana incidente.

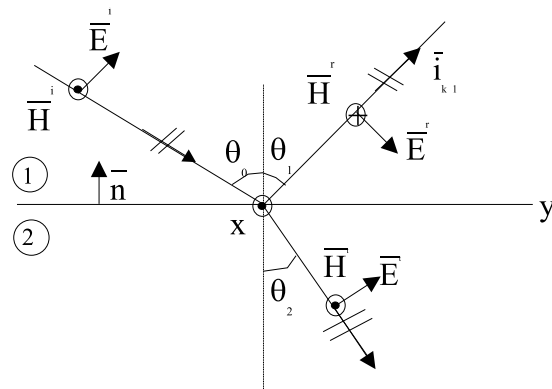


Figura 3.6: Polarizzazione parallela: geometria del problema.

|| una con campo elettrico parallelo al piano di incidenza (o onda Trasversa Magnetica rispetto alla normale alla superficie di separazione in quanto il campo magnetico è tutto trasverso rispetto a tale normale).

Il campo riflesso e trasmesso possono essere quindi studiati come sovrapposizione dei campi generati dalle componenti parallela e perpendicolare dell'onda piana incidente.

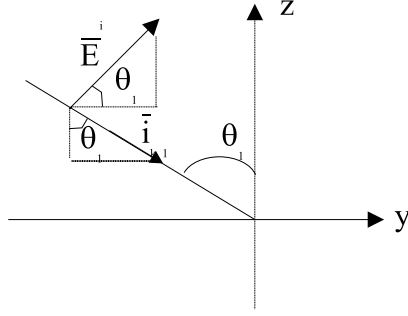


Figura 3.7: Polarizzazione parallela: campo incidente.

3.2 Polarizzazione Parallela

- Campo incidente

$$\vec{E}^i = \vec{E}_+^{(1)} e^{-jk_1 \hat{i}_{k_1} \cdot \vec{r}}, \quad (3.17)$$

$$\vec{H}^i = \frac{1}{\zeta_1} \hat{i}_{k_1} \times \vec{E}^i, \quad (3.18)$$

con $\vec{r} = x\hat{x} + y\hat{y} + z\hat{z}$ e

$$\vec{E}_+^{(1)} = E_+^{(1)} (\cos \theta_1 \hat{y} + \sin \theta_1 \hat{z}), \quad E_+^{(1)} \in \mathbb{C} \quad (3.19)$$

$$\hat{i}_{k_1} = \sin \theta_1 \hat{y} - \cos \theta_1 \hat{z}. \quad (3.20)$$

Quindi

$$\vec{E}^i = E_+^{(1)} (\cos \theta_1 \hat{y} + \sin \theta_1 \hat{z}) e^{-jk_1 \sin \theta_1 y} e^{jk_1 \cos \theta_1 z}, \quad (3.21)$$

$$\vec{H}^i = \frac{E_+^{(1)}}{\zeta_1} \hat{x} e^{-jk_1 \sin \theta_1 y} e^{jk_1 \cos \theta_1 z}. \quad (3.22)$$

- Campo riflesso

$$\vec{E}^r = \vec{E}_-^{(1)} e^{-jk_1 \hat{i}_{k'_1} \cdot \vec{r}}, \quad (3.23)$$

$$\vec{H}^r = \frac{1}{\zeta_1} \hat{i}_{k'_1} \times \vec{E}^r, \quad (3.24)$$

con

$$\vec{E}_-^{(1)} = E_-^{(1)} (\cos \theta_1 \hat{y} - \sin \theta_1 \hat{z}), \quad E_-^{(1)} \in \mathbb{C} \quad (3.25)$$

$$\hat{i}_{k'_1} = \sin \theta_1 \hat{y} + \cos \theta_1 \hat{z}. \quad (3.26)$$

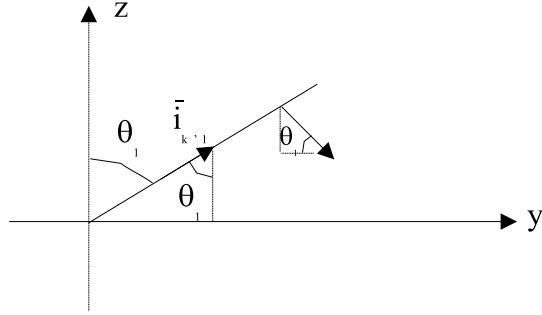


Figura 3.8: Polarizzazione parallela: campo riflesso.

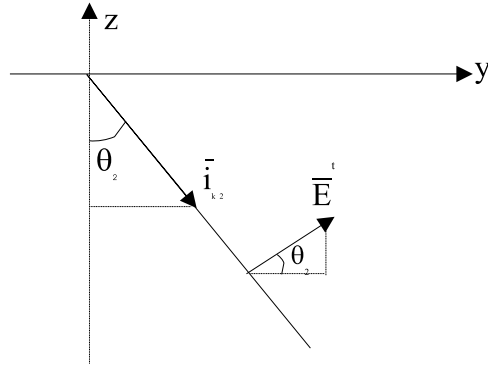


Figura 3.9: Polarizzazione parallela: campo trasmesso.

Quindi

$$\vec{E}^r = E_-^{(1)}(\cos \theta_1 \hat{y} - \sin \theta_1 \hat{z}) e^{-jk_1 \sin \theta_1 y} e^{-jk_1 \cos \theta_1 z}, \quad (3.27)$$

$$\vec{H}^r = -\frac{E_-^{(1)}}{\zeta_1} \hat{x} e^{-jk_1 \sin \theta_1 y} e^{-jk_1 \cos \theta_1 z}. \quad (3.28)$$

• **Campo trasmesso**

$$\vec{E}^t = \vec{E}_+^{(2)} e^{-jk_2 \hat{i}_{k_2} \cdot \vec{r}}, \quad (3.29)$$

$$\vec{H}^t = \frac{1}{\zeta_2} \hat{i}_{k_2} \times \vec{E}^t, \quad (3.30)$$

con

$$\vec{E}_+^{(2)} = E_+^{(2)}(\cos \theta_2 \hat{y} + \sin \theta_2 \hat{z}), \quad E_+^{(2)} \in \mathbb{C}, \quad (3.31)$$

$$\hat{i}_{k_2} = \sin \theta_1 \hat{y} - \cos \theta_1 \hat{z}. \quad (3.32)$$

Quindi

$$\vec{E}^t = E_+^{(2)} (\cos \theta_2 \hat{y} + \sin \theta_2 \hat{z}) e^{-jk_2 \sin \theta_2 y} e^{jk_2 \cos \theta_2 z}, \quad (3.33)$$

$$\vec{H}^t = \frac{E_+^{(2)}}{\zeta_2} \hat{x} e^{-jk_2 \sin \theta_2 y} e^{jk_2 \cos \theta_2 z}. \quad (3.34)$$

Imponendo le condizioni al contorno all'interfaccia tra i due mezzi ($z = 0$) si ottiene $\forall y$

$$E_+^{(1)} \cos \theta_1 e^{-jk_1 \sin \theta_1 y} + E_-^{(1)} \cos \theta_1 e^{-jk_1 \sin \theta_1 y} = E_+^{(2)} \cos \theta_2 e^{-jk_2 \sin \theta_2 y}, \quad (3.35)$$

$$\frac{E_+^{(1)}}{\zeta_1} e^{-jk_1 \sin \theta_1 y} - \frac{E_-^{(1)}}{\zeta_1} e^{-jk_1 \sin \theta_1 y} = \frac{E_+^{(2)}}{\zeta_2} e^{-jk_2 \sin \theta_2 y}. \quad (3.36)$$

Utilizzando la seconda legge di Snell, cioè $k_1 \sin \theta_1 = k_2 \sin \theta_2$, la precedente equazione si riduce alla

$$E_+^{(1)} \cos \theta_1 + E_-^{(1)} \cos \theta_1 = E_+^{(2)} \cos \theta_2, \quad (3.37)$$

$$\frac{E_+^{(1)}}{\zeta_1} - \frac{E_-^{(1)}}{\zeta_1} = \frac{E_+^{(2)}}{\zeta_2}, \quad (3.38)$$

da cui, risolvendo rispetto alle ampiezze dell'onda riflessa e trasmessa, si ottiene

$$E_-^{(1)} = E_+^{(1)} \frac{\zeta_2 \cos \theta_2 - \zeta_1 \cos \theta_1}{\zeta_2 \cos \theta_2 + \zeta_1 \cos \theta_1}, \quad (3.39)$$

$$E_+^{(2)} = E_+^{(1)} \frac{2\zeta_2 \cos \theta_1}{\zeta_2 \cos \theta_2 + \zeta_1 \cos \theta_1}. \quad (3.40)$$

Si definisce coefficiente di riflessione parallela lo scalare

$$\Gamma_{\parallel} = \frac{\vec{E}^r \cdot \hat{y}}{\vec{E}^i \cdot \hat{y}} = \frac{E_-^{(1)} \cos \theta_1}{E_+^{(1)} \cos \theta_1} = \frac{\zeta_2 \cos \theta_2 - \zeta_1 \cos \theta_1}{\zeta_2 \cos \theta_2 + \zeta_1 \cos \theta_1}, \quad (3.41)$$

mentre coefficiente di trasmissione parallela la quantità

$$\tau_{\parallel} = \frac{\vec{E}^t \cdot \hat{y}}{\vec{E}^i \cdot \hat{y}} = \frac{E_+^{(2)} \cos \theta_2}{E_+^{(1)} \cos \theta_1} = \frac{2\zeta_2 \cos \theta_2}{\zeta_2 \cos \theta_2 + \zeta_1 \cos \theta_1}, \quad (3.42)$$

da cui risulta $\tau_{\parallel} = 1 + \Gamma_{\parallel}$. Per il riferimento assunto in Fig. 3.6 risulta

$$E_-^{(1)} = E_+^{(1)} \Gamma_{\parallel}, \quad (3.43)$$

$$E_+^{(2)} = E_+^{(1)} \tau_{\parallel} \frac{\cos \theta_1}{\cos \theta_2}. \quad (3.44)$$

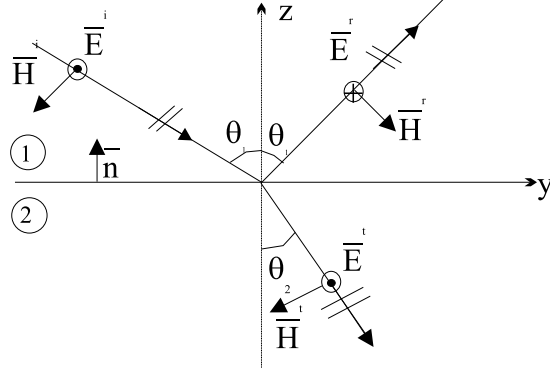


Figura 3.10: Polarizzazione perpendicolare: geometria del problema.

3.3 Polarizzazione perpendicolare

Procedendo analogamente a quanto fatto per la polarizzazione parallela, si perviene al sistema

$$E_+^{(1)} + E_-^{(1)} = E_+^{(2)}, \quad (3.45)$$

$$\frac{E_+^{(1)} \cos \theta_1}{\zeta_1} - \frac{E_-^{(1)} \cos \theta_1}{\zeta_1} = \frac{E_+^{(2)} \cos \theta_2}{\zeta_2}, \quad (3.46)$$

da cui, risolvendo rispetto alle ampiezze dell'onda riflessa e trasmessa,

$$E_-^{(1)} = E_+^{(1)} \frac{\frac{\zeta_2}{\cos \theta_2} - \frac{\zeta_1}{\cos \theta_1}}{\frac{\zeta_2}{\cos \theta_2} + \frac{\zeta_1}{\cos \theta_1}}, \quad (3.47)$$

$$E_+^{(2)} = E_+^{(1)} \frac{2 \frac{\zeta_2}{\cos \theta_2}}{\frac{\zeta_2}{\cos \theta_2} + \frac{\zeta_1}{\cos \theta_1}}. \quad (3.48)$$

Si definisce coefficiente di riflessione perpendicolare lo scalare

$$\Gamma_{\perp} = \frac{\vec{E}^r \cdot \hat{x}}{\vec{E}^i \cdot \hat{x}} = \frac{E_-^{(1)}}{E_+^{(1)}} = \frac{\zeta_2 \cos \theta_1 - \zeta_1 \cos \theta_2}{\zeta_2 \cos \theta_1 + \zeta_1 \cos \theta_2}, \quad (3.49)$$

mentre coefficiente di trasmissione perpendicolare la quantità

$$\tau_{\perp} = \frac{\vec{E}^t \cdot \hat{x}}{\vec{E}^i \cdot \hat{x}} = \frac{E_+^{(2)}}{E_+^{(1)}} = \frac{2 \zeta_2 \cos \theta_1}{\zeta_2 \cos \theta_1 + \zeta_1 \cos \theta_2} \quad (3.50)$$

Analogamente al caso di polarizzazione parallela vale la relazione $\tau_{\perp} = 1 + \Gamma_{\perp}$ e per il riferimento assunto in Fig. 3.10 risulta

$$E_-^{(1)} = E_+^{(1)} \Gamma_{\perp}, \quad (3.51)$$

$$E_+^{(2)} = E_+^{(1)} \tau_{\perp}. \quad (3.52)$$

3.4 Angolo di Brewster

A questo punto ci poniamo la seguente domanda: esiste un particolare angolo di incidenza θ_1 per cui per il caso di polarizzazione parallela e/o per quello di polarizzazione perpendicolare non è presente onda riflessa? Per dare una risposta a tale quesito nel caso di polarizzazione parallela è necessario verificare se esiste un valore reale dell'angolo di incidenza θ_1 per cui

$$\Gamma_{\parallel} = \frac{\zeta_2 \cos \theta_2 - \zeta_1 \cos \theta_1}{\zeta_2 \cos \theta_2 + \zeta_1 \cos \theta_1} = 0, \quad (3.53)$$

che, poiché il denominatore risulta sempre limitato, equivale a verificare la relazione

$$\zeta_2 \cos \theta_2 - \zeta_1 \cos \theta_1 = 0. \quad (3.54)$$

I due angoli θ_1 e θ_2 sono legati dalla relazione

$$\sin \theta_2 = \frac{k_1}{k_2} \sin \theta_1, \quad (3.55)$$

quindi

$$\zeta_2^2 (1 - \sin^2 \theta_2) = \zeta_1^2 (1 - \sin^2 \theta_1), \quad (3.56)$$

$$\zeta_2^2 \left(1 - \frac{k_1^2}{k_2^2} \sin^2 \theta_1 \right) = \zeta_1^2 (1 - \sin^2 \theta_1), \quad (3.57)$$

$$\sin^2 \theta_1 = \frac{\zeta_2^2 - \zeta_1^2}{\zeta_2^2 \frac{k_1^2}{k_2^2} - \zeta_1^2}, \quad (3.58)$$

da cui, ricordando che $\zeta = \sqrt{\mu/\epsilon}$ e $k = \omega\sqrt{\epsilon\mu}$, si ottiene

$$\sin^2 \theta_1 = \left(\frac{\mu_2 \epsilon_1 - \mu_1 \epsilon_2}{\epsilon_1^2 - \epsilon_2^2} \right) \frac{\epsilon_2}{\mu_1}. \quad (3.59)$$

Nel caso in cui si consideri che entrambi i mezzi siano dielettrici, cioè $\mu_1 \simeq \mu_2 \simeq \mu_0$, si ha

$$\sin^2 \theta_1 = \frac{\epsilon_2}{\epsilon_1 + \epsilon_2} < 1. \quad (3.60)$$

Perciò, nel caso di polarizzazione parallela dell'onda incidente, esisterà sempre un angolo reale per cui non è presente onda riflessa nel mezzo di provenienza dell'onda. Essendo poi

$$\cos^2 \theta_1 = 1 - \sin^2 \theta_1 = 1 - \epsilon_2/(\epsilon_1 + \epsilon_2) = \epsilon_1/(\epsilon_1 + \epsilon_2) \quad (3.61)$$

tale angolo, detto *angolo di Brewster* θ_b , può essere definito attraverso la sua tangente

$$\tan \theta_b = \sqrt{\frac{\epsilon_2}{\epsilon_1}}. \quad (3.62)$$

Per quanto riguarda invece la polarizzazione perpendicolare è necessario ricercare quel valore dell'angolo di incidenza θ_1 per cui risulta valida la condizione

$$\Gamma_{\perp} = \frac{\zeta_2 \cos \theta_1 - \zeta_1 \cos \theta_2}{\zeta_2 \cos \theta_1 + \zeta_1 \cos \theta_2} = 0, \quad (3.63)$$

ovvero

$$\zeta_2 \cos \theta_1 - \zeta_1 \cos \theta_2 = 0. \quad (3.64)$$

Procedendo analogamente al caso precedente si ottiene

$$\zeta_2^2(1 - \sin^2 \theta_1) = \zeta_1^2(1 - \frac{k_1^2}{k_2^2} \sin^2 \theta_1) \quad (3.65)$$

e quindi

$$\sin^2 \theta_1 = \frac{\zeta_2^2 - \zeta_1^2}{\zeta_2^2 - \zeta_1^2 \frac{k_1^2}{k_2^2}} = \frac{\mu_2}{\epsilon_1} \frac{\mu_2 \epsilon_1 - \mu_1 \epsilon_2}{\mu_2^2 - \mu_1^2}. \quad (3.66)$$

Nel caso si consideri che entrambi i mezzi siano dielettrici $\mu_1 \simeq \mu_2 \simeq \mu_0$ per cui $(\mu_2 - \mu_1) = \eta \rightarrow 0$ e quindi

$$\lim_{\eta \rightarrow 0} \frac{\eta + \mu_1}{\epsilon_1} \frac{\eta \epsilon_1 + \mu_1(\epsilon_1 - \epsilon_2)}{\eta(\eta + 2\mu_1)} = \lim_{\eta \rightarrow 0} \frac{\mu_1}{2\epsilon_1} \frac{\epsilon_1 - \epsilon_2}{\eta} = \infty. \quad (3.67)$$

Per far sì che il limite risulti finito ed inferiore all'unità dovrà essere $\epsilon_1 - \epsilon_2 = 0$. Ciò equivale a richiedere che sia verificato il caso, banale, in cui i due mezzi dielettrici siano uguali.